

Ba - S

IX-3096

1864.

BaS_2O_3 ; $K_2S_2O_3$; $Na_2S_2O_3$ (φ)

Pogg C.,

Poggendorf's Ann., 1864, 122, 408

Über die spezifische Wärme untezschwef-
tigsaure Salze.



5

Kenn N 0584

IR 1568

1929

Portillo

~~1929~~ ~~Aug 1929~~ fisay quin. (Lederdill) 1929, 27,236

BaS₄O₆ · 2H₂O; kp; (aKsol)

Circ. 500



B

IX-2012

TRANSMISSION

1949.

CaS_2O_3 , BaS_2O_3 , $\text{Ca}(\text{IO}_3)_2$, $\text{Ba}(\text{PO}_4)_2$ (P-P_{II}O) (K_P)

Davies C.W., Wyatt P.A.H.

Trans. Faraday Soc., 1949, 45, 770-773

1949-10-10

B.

(K₂)

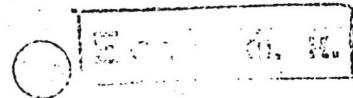
IX-3322

1951

MS_aO₃ (p-p; H₂O), where M = Ba, Ca, Al, Sc, Ni, K.

Denney T.O., Monk C.B.

Trans. Faraday Soc. 1951, 47, 992-8



B.

1961

V-3480

BaSO_4 , CaSO_4 , MgSO_4 , ZnSO_4 ,

FeSO_4 , $\underline{\text{BaSO}_3}$, CaSO_3 , MgSO_3 , ZnSO_3 ,

FeSO_3 (ΔS°_{298} , ΔH°_{298} , ΔG°_{298})

Амирова С.А., Печковский В.В., Кетов А.Н.

Сб. научн. трудов Пермского Политехн.Ин-та,
1961, № 10, 33-51.

Термодин. восстановления сульфатов бария,
кальция, магния, цинка и железа водородом.

М, Ве, [Есть ф. к.] СА, 1963, 58, N2, 980d

1963

IX - 406

$\frac{\text{Ba}_2\text{S}_2\text{O}_6 \cdot 2\text{H}_2\text{O}}{(\text{NH}_4)_2\text{S}_2\text{O}_6}$, $\frac{\text{Y}_2\text{S}_2\text{O}_6 \cdot 2\text{H}_2\text{O}}{(a, b, c)}$, $\text{Na}_2\text{S}_2\text{O}_6 \cdot 2\text{H}_2\text{O}$,

Larson D.W., Van Cleave D.B.,

Canad. J. Chem., 1963, 41, 219-223

24, 1963, N185189

the

CCP cp.K

1964

TK 1974

3g, CaS, SrS, BaS, S₂, CaO,
SrO, BaO, SO, (BaS)₂

(Do; iHv, Ze, we, $\frac{G_0 - H_0}{T}$)

Colin R., Goldfinger P,

Jeunehomme M.

Trans. Faraday Soc., 1964, 60, N2, 306-11

PL. Xmas, 1965, 15384 N, 10 еенс опн.

BaS₂O₇

1964

21 В5. Пиросульфат бария BaS_2O_7 . Vandorpe
Berglund, Neubel Joseph. Sur le pyrosulfate de
baryum BaS_2O_7 . «C. r. Acad. sci.», 1964, 259, № 2, 397—
399 (франц.)

BaS_2O_7 (**I**) получен четырьмя различными способами:
нагреванием теоретич. кол-в $\text{Ba}(\text{NO}_3)_2$ (**II**) и HSO_3NH_2
(**III**) при 140° , нагреванием теоретич. кол-в BaCO_3 и
 $\text{Na}_2\text{O}_5 \cdot 3\text{SO}_3$ или $\text{N}_2\text{O}_5 \cdot 4\text{SO}_3$ (р-ции начинаются ниже
 75°) и конденсацией SO_3 на BaSO_4 (**IV**) с последующим
удалением избытка SO_3 в токе при 100° . При нагрева-
нии **I** со скоростью 150 град/час разложение его на **IV** и
 SO_3 начинается при $160—170^\circ$ и заканчивается 300° ; **I**,
полученный из **II** и **III**, более термически стоек и разла-
гается между 190 и $370—400^\circ$. Сходство дебаеграмм **I** и
IV объяснено тем, что параметр $a = 8,85$ Å ячейки **IV**
удваивается в ячейке **I**; это объяснение согласуется и с
величиной отношения плотностей **I** (3,75) и **IV**. И. Рысс

2. 1965. 21

$[\text{Ba}(\text{SO}_4)]$, $[\text{Ba}(\text{SO}_4)_2^{2-}]$, $[\text{Ba}(\text{C}_2\text{O}_4)]$, 9 1966
 $[\text{Ba}(\text{C}_2\text{O}_4)_2^{2-}]$ (K_p) 18250

Sekine Tatsuya, Sakurai Shizuo, Hosogawa Yuro
Bull. Chem. Soc. Japan, 1966, 39, N10, 2141-2144 (ann.)
Studies of the alkaline earth complexes in various
solutions. I. Barium(II) complexes with sulfate and
oxalate ions in 1M sodium perchlorate media.

PHYSICS, 1967

FB59

8
B, Ig (9)

A - 1216

1968

Супорции Ba (ΔH_f°)

Амосов В.Н., Тимонев В.Е.,

Изв. вестн. учен. заез.

Химии и хим. технол.

1968, 11, №10, 1128-1134.

BaSO₃ 1370086 Equilibria of heterogeneous reactions. I. Condensed system BaO-Na₂O-CO₂-SO₂-H₂O. Marecek, Josef; Erdos, Emerich (Cesk. Akad. Ved, Prague, Czech.). Collect. Czech. Chem. Commun. 1970, 35(4), 1017-29 (Eng). At 25-80° the equil. compns. were measured in condensed heterogeneous systems contg. Na₂CO₃, Na₂SO₃, BaCO₃, BaSO₃, and H₂O in

which the reaction $\text{BaSO}_3(s) + \text{CO}_3^{2-}(aq) = \text{BaCO}_3(s) + \text{SO}_3^{2-}(aq)$ takes place. An equil. app. was developed which is suitable for equil. studied in heterogeneous multiphase systems. The suitability of the method used was tested on a similar known system contg. sulfates instead of sulfites. The concn. ratio of $[\text{SO}_3^{2-}]/[\text{CO}_3^{2-}]$ is practically independent of the concn. of the soln. and independent of the ratio of BaSO₃ and BaCO₃ in the solid phase. The dependence of the concn. ratio on temp. is expressed by the equation: $\log [\text{SO}_3^{2-}]/[\text{CO}_3^{2-}] = (4217.06/T) - 92.9165 + 31.5862 \log T$. The solv. product of BaSO₃ at 25° is 4.9×10^{-10} , and the free enthalpy and the heat of formation of BaSO₃ are -265.5 kcal/mole and -285.6 kcal/mole, resp.

E. Erdos

C.A. 1870.72.26

1970

BaSO₃ΔG°fΔH°f

X·1970·20

20 Б676. Равновесия гетерогенных реакций. I. Конденсированная система BaO—Na₂O—CO₂—SO₂—H₂O.
Магеcek J., Erdös E. Equilibria of heterogeneous reactions. I. The condensed system BaO—Na₂O—CO₂—SO₂—H₂O. «Collect. Czech. Chem. Commun.», 1970, 35, № 4, 1017—1029 (англ.)

При т-рах 25—80° исследовалось равновесие в водн. системе из карбонатов и сульфитов Ba и Na. На основе полученных данных оценены свободная энергия ($ΔG^{\circ}$ (обр.) = —265,5 ккал/моль) и энталпия ($ΔH^{\circ}$ (обр.) = —285,6 ккал/моль) образования BaO₃ при 25°.

Н. А. Попэв

Ag_3V_2 ; $\text{Ag}_3\text{V}_2\text{-C}$; Ba_3O_4 ; $\text{Ag}_2\text{S}_2\text{O}_4$; 1971
 $\text{Hg}_2\text{S}_2\text{O}_4$; $\text{Ag}_2\text{S}_2\text{O}_4\text{-C}$; $\text{Ba}_3\text{S}_2\text{O}_3$
 $\text{Ba}_3\text{S}_2\text{O}_3\text{-C}$; $\text{Na}_2\text{C}_2\text{O}_4$; $\text{Na}_2\text{C}_2\text{O}_4\text{-C}$

(неприм. пазуосиене) IX 4466

Vanderburgh N.E., Ristau W.T.,
Coloff S., Rec. Symp. Electron.,
Jou, Laser Beam Technol.,
11th, 1971, 403 - 412

III

& CCITB CPK res 65 ke

$\text{BaF}_2 \cdot \text{BaSO}_4$

1973

397-18-4443

74714j Phase diagram of the barium fluoride-barium sulfate system. Karoleva, V. D. (Vissht. Khim.-Tekhnol. Inst., Sofia, Bulg.). *Khim. Ind. (Sofia)* 1973, 45(6), 258-61 (Bulg). The system $\text{BaF}_2\text{-BaSO}_4$ was detd. by DTA. This system is a eutectic with solid soln. on the BaSO_4 side at 12.8 mole % BaF_2 at 958° . The eutectic compn. has a mole ratio of $\text{BaF}_2:\text{BaSO}_4 = 2:1$.

Y: Himmelbloom

qaz
guarap

C.A. 1974. 80. 114

1974

BaS₂
BaS₃

Структ.

24 Б398. Структура полисульфидов BaS₃, SrS₃, BaS₂ и SrS₂. Schneegeling H. G., Goh Ngoh-Khang. Die Strukturen der Polysulfide BaS₃, SrS₃, BaS₂ und SrS₂. «Naturwissenschaften», 1974, 61, № 6, 272 (нем.)

Монокристаллы MS₃, где M=Ba (I) или Sr (II) образуются при р-ции BaS с S в кварцевой ампуле при 550° или Sr(OH)₂ с S при 200° в токе N₂. MS₂, где M=Ba (III) или Sr (IV) получены термич. разложением I или II. Кристаллы I и IV тетрагон., II — ромбич., III — монокл., ф. гр. P $\bar{4}2_1m$, B2cb, C2/e и I4/mcm соотв. Параметры решетки I—IV соотв., a 6,881, 7,088, 9,347, 6,098, b 6,982, 4,761, c 4,177, 8,032, 9,050, 7,646 Å, β 118,41°, Z =2, 4, 4 и 4. Структуры I—IV определены из данных, полученных в камере Гинье или на дифрактометре и уточнены до R =0,076, 0,079, 0,097, 0,05 соотв.

x. 1974. № 4

(+2) 18

I изотипен NH_4ClO_2 . Расстояния $\text{S}-\text{S}$ 2,050—2,076 Å, углы связей центрального атома S 108,3 и 114,9°. Атомы Ba и Sr в I и II окружены 8 или 9 атомами S ($\text{Ba}-\text{S}$ 3,211—3,348, $\text{Sr}-\text{S}$ 3,006—3,304 Å). I представляет собой структуру внедрения Ba в SO_2 , причем S_3 , занимая положения S и O образуют подструктурную. При рассмотрении S_3 , как одного атома, структуру I следует отнести к типу искаженного NaCl (вариант NaCl). В III и IV расстояния $\text{S}-\text{S}$ 2,126 и 2,08 Å. III принадлежит к типу ThC_3 (вариант NaCl), IV структурный тип вычитания из KHF_2 , т. к. позиции атомов H не заполнены (вариант CsCl). Атомы M в III и IV связаны с 8 атомами S ($\text{Ba}-\text{S}$ 3,165—3,240, $\text{Sr}-\text{S}$ 3,09 Å).

М. Б. Варфоломеев

11 Б495. Дисульфид бария. Kawada I., Kato K.,
Yamamoto S. Barium disulphide. «Acta crystallogr.»,
1975, V 31, № 12, 2905—2906 (англ.)

1975

BaS₂

Синтезированы (взаимодействием в вакууме BaS и S при т-ре 800°) и рентгенографически изучены (дифрактометр, λMo, 642 отражение, МНК, анизотропное приближение, $R=0,049$) кристаллы BaS₂ (I). Параметры монокл. решетки: $a = 9,299$, $b = 4,736$, $c = 8,993 \text{ \AA}$, $\beta = 118,37^\circ$, ρ (выч.) 3,84, $Z=4$, ф. гр. C2/c. Линейные ионы-гантели S₂²⁻ (S—S 2,118 Å) располагаются цепями, параллельными направлению [110] и проходящими примерно на уровнях по $z = 0$ и $1/2$. Расстояние между соседними ионами S₂²⁻ в цепях (3,143 Å) значительно короче, чем в других, имеющих аналогичное строение сульфидах бария Ba₂S₃ и BaS₃, (3,21—3,98 Å), на основании чего предполагается, что в I слабая связь существует и между отдельными ионами S₂²⁻. Атомы Ba, располагающиеся между слоями, находятся в окружении из восьми атомов S (Ba—S 3,151—3,223 Å). Сравнение структур I, Ba₂S₃ и BaS₃ выявило их сходство и позволило установить, что в этой серии полисульфидов бария длина связи в ионе S₂²⁻ уменьшается с ростом содержания S в соединении.

С. В. Соболева

стрикт.
стрикт

x 1975
n 11

1976



Glasson D.R., et al.

T_{tr}

"Proc. 1st Eur. Symp.
Therm. Anal., Salford,
1976", London e.a., 1976,
283-286.

● (all. Ca_2SO_3 ; -)

1976

BaS₃

85: 70227h Raman studies of sulfur-containing anions in inorganic polysulfides. Barium trisulfide. Janz, G. J.; Roduner, E.; Coutts, J. W.; Downey, J. R., Jr. (Cogswell Lab., Rensselaer Polytech. Inst., Troy, N. Y.). *Inorg. Chem.* 1976, 15(8), 1751-4 (Eng). The present work reports an investigation of the S₃²⁻ anion from -125 to 580° using laser-Raman and rotating scattering arrangements as principal techniques, with BaS₃ (m 554°C) as the model system. The room-temp. and low-temp. spectra are understood in terms of a C_{2v} symmetry for S₃²⁻. A unique spectral transformation occurs at higher temp. and in addn. the compd. exhibits a temp.-independent but magnetic-field-dependent paramagnetism. These changes are discussed from the viewpoint of bond angle changes, resonance Raman effect, and rotation of the S₃²⁻ species in the solid state.

(T_m)

C.A.1976. 85 N10

BaSO₂

1983

У8 Б1610. Растворимость сульфитов бария и стронция в воде. Родин И. В., Маргулис Е. В. «Ж. неорганической химии», 1983, 28, № 1, 255—256

Изотермическим методом изучена растворимость сульфитов бария и стронция в воде при 20—90° С. В равновесии с р-ром при 20—90° С находятся BaSO₂ и SrSO₃. Растворимость сульфитов повышается с ростом температуры от 20 до 90° С соотв.: для бария — от 0,78 до 2,21 мг Ba/dm³, для стронция — от 0,72 до 1,68 мг Sr/dm³, а произведения растворимостей сульфитов соотв.: для бария — от $3,25 \cdot 10^{-11}$ до $2,59 \cdot 10^{-11}$, для стронция от $6,72 \cdot 10^{-11}$ до $3,65 \cdot 10^{-10}$.

Резюме

растворим.
в воде

(4) SrSO₃

X. 1983, 19, N 8.

BaS₂D₃(K) №3458/ом. 26986/ 1986

Касенов Б.Р., Абисеев Д.Н.,
и др.,

ДФИ,
оценки Вестник АН Казахской ССР,
оценки 1986, №3, 33-39.

$\text{Ba}(\text{HSO}_4)_2$

1986

7 20 Б2046. Кристаллическая структура $\text{Ba}(\text{HSO}_4)_2$.
Троицкий С. И., Симонов М. А., Кемниц Е., Хасс Д.,
Каммлер М. «Докл. АН СССР», 1986, 288, № 6,
1376—1379

Проведен РСТА (λ Mo, 2010 отражений, $R = 0,033$)
 $\text{Ba}(\text{HSO}_4)_2$. Кристаллы ромбич., $a = 4,696$; $b = 10,593$; $c = 13,12$ Å, ρ (выч.) 3,373; $Z = 4$; ф. гр. $P2_12_12_1$. Приведены
координаты атомов в структуре $\text{Ba}(\text{HSO}_4)_2$, межатом-
ные расстояния, х-ки вероятных Н-связей. О. Е. Г.

Кристалл
структур

X. 1986, 19, № 20

$\text{Ba}(\text{HSO}_4)_2$ 1987
Kemnitz E.,
Worzala H.* et al.

Cevemez,
Copyk-
myps
L. Anorg. und allg.
Chem., 1987, 547, N⁴,
S⁷-68. I

(cer. Ca  $(\text{HSO}_4)_2$;)

Халькогениды ба

1991

> 13 Б2156. Влияние высоких давлений на механические и электронные свойства халькогенидов бария /
Вааль А. А., Катаев С. Г., Нявр А. В., Чернов Д. Е.
// Изв. вузов. Физ.— 1991.— 34, № 11.— С. 44—52.—
Рус.

(T_z)

На основе полуэмпирич. модели сил связи, учитывающей трехчастичные вз-вия, и метода псевдопотенциала исследуются мех. и электронные св-ва халькогенидов бария при гидростатич. давлении. Построены ур-ния состояния гидростатич. сжатия, оценены параметры структурных фазовых переходов типа $B1-B2$, изучено изменение энергетич. зонного спектра под действием давл. и проведена оценка крит. величин сжатия, вызывающего переход диэлектрик — металл. Полученные результаты согласуются с имеющимися опытными данными.

Х. 1992, № 13

BaSO_3

1992

Ishikara M., Matsei
H. et al.

J. Therm. Anal. 1992.

38, N 8, C. 1801-1815.

($\text{crys. } \text{MgSO}_3, \text{ I}$)

BaSO₃

1993

10 Б2243. Особенности образования и стабилизации парамагнитных частиц в структурах BaS₂O₆•2H₂O и BaSO₃ /Богушевич С. Е., Уголов И. И., Макатун В. Н., Потапович А. К. //Ж. прикл. спектроскопии. — 1993 .— 58 , № 5—6 .— С. 511—515 .— Рус. ;рез. англ.

В работе рассмотрена взаимосвязь термич. разложения дитионата и сульфита бария. Эти процессы идут от начала до конца в присутствии образующейся смешанной фазы BaSO₃/BaSO₄. Установлено, что компонент данной фазы — BaSO₃ — принимает участие в стабилизации как ион-радикалов SO₂⁻, так и SO₃⁻ ($g=2,0036$). Показано, что накопление сульфата бария в ходе термолиза BaSO₃ в атмосфере SO₂ является причиной анизотропии формы линии сигнала ЭПР, принадлежащего парамагнитным частицам (ПМЧ) SO₃⁻, со значениями g-фактора $g_1=2,0048$; $g_2=2,0036$; $g_3=2,0012$. Термолиз сульфита бария приводит к отжигу радикалов SO₃⁻ и накоплению SO₂⁻, макс. кол-во к-рых наблюдается при соотношении фаз BaSO₃/BaSO₄~1:9. Предложены схемы образования обоих видов радикалов и сделан вывод, что в промежуточной фазе BaSO₃/BaSO₄ сульфит играет главную роль в стабилизации ПМЧ SO₃⁻, участвующих в образовании SO₂⁻, а сульфат является стабилизирующим фактором.

X.1994, N10